

تجزیه روغن‌های آسکارل (PCB170 و PCB153) با استفاده از پرتو میکروویو و تلفیق همزمان $\text{H}_2\text{O}_2/\text{TiO}_2$

رضا تاجیک^۱, حسن اصیلیان مهابادی^۲, علی خوانین^۳, احمد جنیدی جعفری^۴,
بابک عشرتی^۵, اردلان سلیمانیان^۶

چکیده

مقدمه: ترکیب‌های بی‌فنیل‌های چند کلر (PCBs) از جمله آلانینده‌های خطرناک شغلی و محیطی است. این مواد جزو یکی از دوازده گروه ترکیبات آلی پایدار محسوب می‌گردند که چالش‌های شغلی و زیست‌محیطی عمده‌ای را ایجاد می‌کند. این ترکیب‌ها اثرات بهداشتی مختلفی را با توجه به راه ورود، جنس، سن، غلظت و سطح مواجهه ایجاد می‌کنند. هدف از این مطالعه، تجزیه روغن‌های آسکارل با استفاده از پرتوهای میکروویو و تلفیق $\text{H}_2\text{O}_2/\text{TiO}_2$ جهت کاهش مواجهه کارگران می‌باشد.

روش‌ها: بررسی حاضر مطالعه تجزیه آزمایشگاهی بود که در دانشگاه تربیت‌مدرس در ماه‌های خرداد تا شهریور ۱۳۹۰ انجام شد. راکتور مورد استفاده یک بالن ژوژه پیرکس ته پهن ۲۵۰ CC بود که به وسیله یک لوله رابط از طریق منفذی که در بالای میکروویو قرار داشت به یک کندانسور ارتباط پیدا می‌کرد. دستگاه میکروویو با فرکانس ۲۴۵۰ مگاهرتز و توان خروجی ۹۰۰ وات بود. توان پرتو در محدوده ۵۴۰ و ۷۲۰ و ۹۰۰ وات مورد استفاده قرار گرفت. pH نمونه‌ها و دما به طور مداوم پایش شد. آزمایش‌ها به صورت سه بار تکرار گردید و نتایج، میانگین سه بار تکرار می‌باشد. روغن‌های آسکارل با استفاده از دستگاه GC-ECD مورد آنالیز قرار گرفت. سپس داده‌ها وارد نرم‌افزار SPSS ۱۶ گردید و با استفاده از تحلیل واریانس با اندازه‌گیری‌های مکرر و آزمون آماری t-test تجزیه و تحلیل شد و P کمتر از ۰/۰۵ معنی‌دار تلقی گردید.

یافته‌ها: میانگین تجزیه برای مجموع PCBها بر حسب توان پرتو میکروویو با ۵۴۰، ۷۲۰ و ۹۰۰ وات به ترتیب ۸۴/۲۵، ۸۴/۲۵ و ۹۵/۸۴ و ۸۸/۸۱ و ۷۲۰ و ۵۴۰ و ۹۰۰ وات به ترتیب ۳:۱، ۱:۱ و ۲:۱ و به ترتیب ۵۳/۸۲ و ۷۰/۹ و ۸۴/۶۵ و ۷۰/۹ و ۸۴/۶۵ و ۹۴/۹۵ و ۷۹/۰۶ بود. میانگین تجزیه بر حسب عدم استفاده و به کارگیری H_2O_2 به میزان ۱۰ درصد و ۲۰ درصد به ترتیب ۸۸/۹۱ و ۷۶/۵۳ و ۷۰/۹ و ۷۹/۱۰ و ۷۹/۳۲ و ۸۰/۱۹ بود. میانگین تجزیه بر حسب عدم استفاده و به کارگیری TiO_2 با نسبت ۸۰/۰۵، ۰/۱۰ و ۰/۲۰ گرم به ترتیب ۷۰/۹ و ۷۷/۳۲ و ۷۹/۱۰ و ۷۹/۱۷ و ۹۲/۱۷ و ۹۱/۱۸ و ۸۹/۳ و ۷۰/۹ و ۹۳/۱۶ و ۹۲/۱۷ و ۹۱/۱۸ و ۹۰/۰۵ و ۰/۱۰ و ۰/۱۵ و ۰/۲۰ گرم به ترتیب ۹۷/۲۲ و ۹۵/۸۴ و ۹۴/۹۵ و ۹۳/۹۵ و ۷۰/۹ و ۹۵/۹۵ و ۹۷/۲۲ بود. همچنین میانگین تجزیه بر حسب عدم استفاده و به کارگیری همزمان $\text{H}_2\text{O}_2/\text{TiO}_2$ به میزان ۲۰ درصد و TiO_2 با نسبت ۰/۱۰ و ۰/۱۵ و ۰/۲۰ گرم به ترتیب ۹۷/۲۲ و ۹۵/۸۴ و ۹۴/۹۵ و ۹۳/۹۵ و ۷۰/۹ و ۹۵/۹۵ و ۹۷/۲۲ بود.

نتیجه‌گیری: نتایج تحقیق روی ترکیب‌های PCB با استفاده از پرتوهای میکروویو در حضور اتانول و اکسید‌کننده قوی H_2O_2 و کاتالیزور TiO_2 منجر به تجزیه یا کاهش میزان PCB در روغن ترانسفورمر شد. در واقع با افزایش مقدار اتانول میزان تولید رادیکال هیدروکسیل افزایش یافت و موجب کلرزدایی بیشتر مولکول PCB گردید. همچنین میزان تجزیه PCB با افزایش غلظت H_2O_2 از دیاد نسبت TiO_2 افزایش یافت.

واژه‌های کلیدی: روغن آسکارل، تجزیه، اتانول، پرتو میکروویو

نوع مقاله: تحقیقی

دریافت مقاله: ۹۱/۱/۲۳

پذیرش مقاله: ۹۱/۳/۲۰

۱- دانشجوی دکتری، گروه مهندسی بهداشت حرفاًی، دانشکده علوم پزشکی، دانشگاه تربیت‌مدرس، تهران، ایران
۲- استادیار، گروه مهندسی بهداشت حرفاًی، دانشکده علوم پزشکی، دانشگاه تربیت‌مدرس، تهران، ایران (نویسنده مسؤول)

Email: asilia_h@modares.ac.ir

۳- دانشیار، گروه مهندسی بهداشت حرفاًی، دانشکده علوم پزشکی، دانشگاه تربیت‌مدرس، تهران، ایران

۴- دانشیار، گروه مهندسی بهداشت محیط، دانشکده علوم پزشکی، دانشگاه تربیت‌مدرس، تهران، ایران

۵- دانشیار، گروه آمار و اپیدمیولوژی، دانشکده بهداشت، دانشگاه علوم پزشکی اراک، اراک، ایران

۶- کارشناس ارشد، آزمایشگاه بهداشت حرفاًی، دانشکده علوم پزشکی، دانشگاه تربیت‌مدرس، تهران، ایران

خیلی بالا (پایداری خیلی بالا)، هدایت حرارتی خیلی بالا، هدایت الکتریکی کم، غیر منفجره، نقطه آتش‌گیری بالا حدود ۱۷۰ تا ۳۸۰ درجه سانتی‌گراد، قابلیت حلالیت کم در آب و حلالیت بالا در حلال‌های آلی می‌باشد (۲-۶). برای چندین دهه از این ترکیب‌ها به عنوان دی‌الکتریک در خازن‌ها، مایعات هیدرولیک در ابزارهای هیدرولیکی، روغن ترانسفورمر، مواد پوشش‌دهنده سطح، چسب‌ها، آفت‌کش‌ها، کاغذهای کپی بدون کربن، موهم، جوهرها و رنگ‌ها در صنعت استفاده شده است (۱، ۳-۶). ترکیب‌های PCB از ۲۰۹ شکل بی‌فنیل (PCB) یا کلرینه بی‌فنیل (Polychlorinated Biphenyl) از جمله آلاینده‌های خطروناک شغلی و محیطی است که چالش‌های شغلی و زیست‌محیطی زیادی را ایجاد می‌نماید (۲، ۱). این ترکیب‌ها جزو ترکیب‌های آروماتیک با مشخصات مشابه ترکیب‌های DDT هستند (۳) و از کلرینه نمودن بی‌فنیل‌ها تولید می‌شوند. این ترکیب‌ها شامل مخلوط ایزومرهای چندگانه با درجه متفاوت از کلر هستند. PCB از دهه ۱۹۳۰ تا دهه ۱۹۹۰ در حجم بسیار زیادی تولید شد و به واسطه خواص فیزیکی و شیمیایی عالی آن به طور وسیع در صنعت به کار گرفته شد. سال‌های ۱۹۳۰-۷۰، بیش از ششصد میلیون کیلوگرم PCB به تنها‌ی از امریکای شمالی مورد استفاده قرار گرفت که ۱۵/۵ درصد از آن‌ها از طریق استفاده، دفع و رها شدن اتفاقی وارد محیط شد (۳). از آن جایی که ترکیب‌های PCB مقاومت بالایی نسبت به تجزیه دارند، از این رو در آب و خاک برای سال‌های زیادی باقی می‌مانند. این مواد به دلیل این که چربی دوست هستند، در سلول‌های بدن تجمع می‌یابند و وارد زنجیره غذایی می‌شوند (۲). به واسطه نگرانی‌های ناشی از اثرات ناخواهد PCB‌ها روی محیط‌زیست و پایداری آن‌ها، تولید، استفاده و واردات آن در برخی کشورها ممنوع شد. همچنین الزامات سختی برای به کارگیری، ذخیره و دفع آن مشخص گردید. به تازگی معاهده شیمیایی آلاینده‌های آلی پایدار (POP، Persistent organic pollutant) عنوان ماده شیمیایی اولویت‌دار برای حذف تدریجی تا سال ۲۰۲۵ در نظر گرفته است (۴-۱).

هم اکنون املاح PCBs به عنوان یکی از چالش‌های محیط‌زیستی کشور است. از این رو با توجه به خطرات ترکیب‌های PCB برای سلامتی انسان و سایر موجودات زنده، توسعه روش‌های مطمئن برای حذف یا تجزیه روغن آسکارل در زمرة مهم‌ترین زمینه‌های تحقیقاتی روز دنیا قرار داده است. محققانی نظیر Wong و Wong با استفاده از روش فیزیکی توانستند به تجزیه ترکیب‌های PCB به میزان ۹۲ درصد دست پیدا کنند (۱). Chang و همکاران نیز به تجزیه بیش از ۸۸ درصد ترکیب‌های PCB در روغن دست پیدا کردند (۸). تحقیقاتی در زمینه کاربرد امواج الکترومغناطیسی در طول موج‌های امواج میکروویو برای تجزیه این ترکیب‌ها در سطح جهان صورت گرفته است.

مقدمه

ترکیب‌های پلی کلرینه بی‌فنیل (PCB) یا خطرناک شغلی و محیطی است که چالش‌های شغلی و زیست‌محیطی زیادی را ایجاد می‌نماید (۲، ۱). این ترکیب‌ها جزو ترکیب‌های آروماتیک با مشخصات مشابه ترکیب‌های DDT هستند (۳) و از کلرینه نمودن بی‌فنیل‌ها تولید می‌شوند. این ترکیب‌ها شامل مخلوط ایزومرهای چندگانه با درجه متفاوت از کلر هستند. PCB از دهه ۱۹۳۰ تا دهه ۱۹۹۰ در حجم بسیار زیادی تولید شد و به واسطه خواص فیزیکی و شیمیایی عالی آن به طور وسیع در صنعت به کار گرفته شد. سال‌های ۱۹۳۰-۷۰، بیش از ششصد میلیون کیلوگرم PCB به تنها‌ی از امریکای شمالی مورد استفاده قرار گرفت که ۱۵/۵ درصد از آن‌ها از طریق استفاده، دفع و رها شدن اتفاقی وارد محیط شد (۳). از آن جایی که ترکیب‌های PCB مقاومت بالایی نسبت به تجزیه دارند، از این رو در آب و خاک برای سال‌های زیادی باقی می‌مانند. این مواد به دلیل این که چربی دوست هستند، در سلول‌های بدن تجمع می‌یابند و وارد زنجیره غذایی می‌شوند (۲). به واسطه نگرانی‌های ناشی از اثرات ناخواهد PCB‌ها روی محیط‌زیست و پایداری آن‌ها، تولید، استفاده و واردات آن در برخی کشورها ممنوع شد. همچنین الزامات سختی برای به کارگیری، ذخیره و دفع آن مشخص گردید. به تازگی معاهده شیمیایی آلاینده‌های آلی پایدار (POP، Persistent organic pollutant) عنوان ماده شیمیایی اولویت‌دار برای حذف تدریجی تا سال ۲۰۲۵ در نظر گرفته است (۴-۱).

مطالعه‌های تجزیه زیستی PCB نشان داد که در صورت تجزیه، این ترکیب می‌تواند به مواد سمی کم خطرناک‌تر یا PCB معدنی تبدیل شود. خواص هر یک از ترکیب‌های PCB وابسته به میزان کلر آن است. PCB‌ها به طور ضعیف در آب حل می‌شوند؛ اما به طور قوی در روغن و چربی حل می‌شوند. قابلیت حلالیت آن‌ها در آب با افزایش درجه کلراسیون کاهش می‌یابد. به طور کلی خواص PCB‌هایی که برای کاربردهای صنعتی ساخته می‌شوند، شامل مقاومت حرارتی و شیمیایی

اولیه حلال در ابتدای مراحل آزمایش و در طی آن مشاهده نشد. با توجه به افزایش سریع دمای محتویات راکتور در اثر تابش امواج میکروویو و برای کنترل وضعیت راکتور در حین انجام واکنش، تابش اشعه به صورت گسته صورت گرفت. به طوری که پس از انجام چندین مرحله آزمایش، برنامه تابش اشعه به صورت مرحله تابش ۱۰ ثانیه‌ای با فواصل زمانی ۳۰، ۴۰ و ۵۰ ثانیه بین هر دو مرحله تابش به ترتیب برای تابش ۳، ۶ و ۹ دقیقه‌ای در نظر گرفته شد. در فاصله بین مراحل تابش عمل همزدن محتویات راکتور انجام شد (۱۲).

برای افزایش حلالیت و تشکیل گروه‌های هیدروکسیل، روغن ترانسفورمر به طور جداگانه در داخل اتانول حل شد. حجم اتانول و روغن ترانسفورمر در نمونه به نسبت یک به یک، دو به یک و سه به یک انتخاب شد. برای پرتودهی یکسان، راکتور روی قسمت گردان میکروویو قرار گرفت. در ضمن در اثر تابش پرتوهای میکروویو و تحت تأثیر میدان الکتریکی تشعشعات مربوطه، مولکول‌های PCB و حلال مرتعش می‌شود و باعث یکنواختی محلول می‌گردد. برای اثربخشی میزان تجزیه، به نمونه‌ها پراکسید هیدروژن در غلظت‌های متفاوت و دی‌اکسید تیتانیوم در نسبت‌های مختلف اضافه شد. نمونه‌های نهایی شامل حجم معینی از اتانول، روغن ترانسفورمر، هیدروکسید سدیم به عنوان کنترل کننده میزان بازی بودن محلول بود.

آزمایش‌ها سه بار تکرار گردید. نتایج، میانگین سه بار تکرار می‌باشد. برای تعیین اثربخشی پارامترهای محلول روی تجزیه روغن، از نمونه‌های شاهد استفاده شد. در نمونه‌های شاهد هیچ گونه تابشی روی محلول انجام نشد. زمان مواجهه با تابش میکروویو به ترتیب ۳، ۶ و ۹ دقیقه‌ای بود. پس از نمونه‌گیری، نمونه‌ها در دمای ۴ درجه سانتیگراد نگهداری شد و پس از ۳ الی ۴ ساعت، آنالیز صورت گرفت. در ضمن نتایج حاصل از آنالیز نمونه‌ها در بخش یافته‌ها منعکس گردید. شایان ذکر است که مقادیر گزارش شده جهت تجزیه روغن آسکارل مربوط به میزان شدت پرتویی معادل $10^{-8} \times 34$ الکترون‌ولت بر سانتی‌متر مربع می‌باشد.

توسعه روش تجزیه ترکیب‌های PCB با استفاده از پرتوهای میکروویو در حضور اکسیدکننده قوی H_2O_2 و کاتالیست TiO_2 به طور همزمان برای اولین بار در دانشگاه تربیت مدرس تهران انجام گرفت. هدف از این مطالعه تجزیه روغن‌های آسکارل با استفاده از پرتوهای میکروویو و استفاده همزمان از H_2O_2 و TiO_2 است.

روش‌ها

مواد: بررسی حاضر مطالعه تجزیه آزمایشگاهی می‌باشد که از پرتوهای میکروویو، کاتالیزور TiO_2 و اکسیدکننده قوی H_2O_2 برای تجزیه روغن آسکارل استفاده گردید. روغن ترانسفورمر از شرکت برق منطقه‌ای تهیه شد. مواد مورد استفاده برای تجزیه عبارت از روغن آسکارل کارکرده داخل ترانس، اتانول (C_2H_5OH), پراکسید هیدروژن (H_2O_2), هیدروکسید سدیم ($NaOH$) و دی‌اکسید تیتانیوم (TiO_2) است. اتانول، پراکسید هیدروژن و هیدروکسید سدیم ساخت شرکت Merck و بدون افزایش خلوص بیشتر مورد استفاده قرار گرفت. دی‌اکسید تیتانیوم از نوع GT-۰۱ ساخت شرکت HSD چین با قطر ذرات ۱۸۰-۲۵۰ میکرومتر با سطح ویژه ۹۰۰ کیلوگرم بر مترمکعب ۱۹۴/۴ مترمربع بر گرم و دانسیته ۰۰۰ موردن استفاده قرار گرفت.

آماده‌سازی نمونه و راکتور: راکتور مورد استفاده یک بالن ژوژه پیرکس ته پهن ۲۵۰ cc بود. این بالن با یک لوله رابط از طریق منفذی که در بالای کوره میکروویو قرار داشت به یک کندانسور ارتباط پیدا می‌کرد. دستگاه میکروویو دارای فرکانس ۲۴۵۰ مگاهرتز و توان خروجی ۹۰۰ وات بود. توان پرتو تولید شده از ماگنترون در محدوده ۵۴۰ W، ۷۲۰ W و ۹۰۰ W مورد استفاده قرار گرفت. امواج میکروویو از طریق تنظیم‌کننده پرتو به درون اتاقک و راکتور هدایت گردید.

دامنه دمای راکتور با توجه به توان خروجی ماگنترون از $1/5 \pm 37$ تا $1/5 \pm 76$ درجه سانتی‌گراد بود. pH نمونه‌ها و دما به طور مداوم مورد پایش قرار گرفت. بررسی اولیه آزمایش نشان داد که با توجه به پایش مستمر حجم محلول اولیه، تغییرات محسوسی در حجم نمونه با توجه به میزان

انجام پرتودهی، گرفتن نمونه و ارسال به آزمایشگاه، مراحل آماده‌سازی نمونه‌های یک فازی و دو فازی صورت گرفت. سپس نمونه‌ها به دستگاه GC-ECD تزریق شد. برای تعیین اثربخشی از فرمول زیر استفاده شد که درصد تجزیه را بر حسب درصد در قبل و بعد از آزمایش نشان می‌دهد. کارایی تجزیه از میزان درصد تجزیه PCB قبل و بعد از عملیات تجزیه به دست می‌آید.

$$RE = \frac{A_1 - A_2}{A_1} \times 100 \quad RE = \text{درصد تجزیه}$$

A_1 = سطح پیک یا مقدار PCB قبل از عملیات تجزیه
 A_2 = سطح پیک یا مقدار PCB بعد از عملیات تجزیه

روش آنالیز: روغن‌های آسکارل با استفاده از دستگاه GC/ECD (Trace GC ultra) با استاندارد داخلی دکلرو بی‌فینیل مورد تجزیه قرار گرفت. جدول ۱ شرایط آزمایشگاهی دستگاه GC-ECD را نشان می‌دهد. پس از آنالیز، داده‌ها وارد نرم‌افزار SPSS گردید. داده‌ها با استفاده از تحلیل واریانس با اندازه‌گیری‌های مکرر و آزمون آماری t-test تجزیه و تحلیل شد و P کمتر از ۰/۰۵ معنی‌دار تلقی گردید. نمونه‌های روغن به طور مستقیم بعد از رقیق‌سازی با هگزان به دستگاه تزریق شد. برای تعیین اثربخشی شرایط واکنش، قبل از این که پرتودهی به وسیله دستگاه میکروویو انجام گیرد، نمونه‌های روغن آسکارل به دستگاه تزریق شد و نوع و میزان PCB مشخص گردید. بعد از

جدول ۱: شرایط دستگاهی برای تجزیه PCBs با استفاده از دستگاه GC-ECD

| مشخصه | |
|-------------------------|---|
| حالت تزریق | Splitless |
| زمان هدمای اولیه | ۳۰ ثانیه |
| دماهای اولیه | ۵۰ درجه سانتیگراد |
| ستون | برنامه‌ریزی دمایی |
| دماها | دماهای اولیه ۵۰ درجه سانتیگراد، با افزایش دما با سرعت ۱۲ درجه سانتیگراد بر دقیقه تا ۱۳۰ درجه سانتیگراد و سپس افزایش دما با نرخ ۵ درجه سانتیگراد بر دقیقه تا ۲۸۰ درجه سانتیگراد ادامه می‌یابد. |
| آشکارساز | زمان استراحت |
| محل تزریق | خنک شدن تا |
| سرعت جریان گاز حامل | ۱/۳ میلی‌لیتر بر دقیقه |
| جنس | سیلیکونی که ۵ درصد فنیل متیل روی ستون لوله موئین سیلیکاتی پیوند داده شده است. |
| فازهای ساکن | طول |
| گازهای حامل | قطر داخلی |
| گازهای جبرانی (make-up) | ضخامت فیلم |
| سرعت جریان گاز جبرانی | هليوم با خلوص ۹۹/۹۹ درصد |
| | نيتروژن با خلوص ۹۹/۹۹ درصد |
| | ۶۰ میلی‌لیتر بر دقیقه |

نتیجه پارامترهای آنالیز روغن

میانگین تجزیه برای مجموع PCB‌ها بر حسب توان پرتو میکروویو یعنی استفاده از توان ۵۴۰، ۷۲۰ و ۹۰۰ وات به ترتیب ۸۴/۲۵، ۸۸/۸۱ و ۹۵/۸۴ بود. میانگین تجزیه برای مجموع PCB‌ها بر حسب نسبت حلال مورد استفاده به روغن آسکارل به میزان ۱:۱، ۱:۲ و ۳:۱، به ترتیب ۵۳/۸۲، ۵۹/۰۶ و ۹۴/۹۵ بود. میانگین تجزیه برای مجموع PCB‌ها بر حسب عدم استفاده و به کارگیری پراکسید هیدروژن به میزان ۱۰ درصد و ۲۰ درصد به ترتیب ۸۴/۶۵ و ۸۰/۹۱ بود. همچنین میانگین تجزیه برای مجموع PCB‌ها بر حسب عدم استفاده و به کارگیری دی‌اکسید تیتانیوم با نسبت‌های ۰/۰۵، ۰/۱۵ و ۰/۰۲ گرم به ترتیب ۷۰/۹، ۷۶/۵۳، ۷۷/۳۲، ۷۹/۱۰ و ۸۰/۱۹ بود.

جدول ۲ میزان درصد تجزیه PCB‌ها را در روغن آسکارل بر حسب توان پرتو میکروویو، نسبت حجم حلال به روغن آسکارل، میزان پراکسید هیدروژن و دی‌اکسید تیتانیوم با توجه به کونجنرهای مختلف نشان می‌دهد.

نمودار ۱ میزان درصد تجزیه PCBs را در روغن آسکارل بر حسب توان پرتو میکروویو و نمودار ۲ اثر شدت میکروویو را روی کارایی تجزیه ترکیب‌های PCB در فرایند تجزیه با استفاده از حلال اتانول نشان می‌دهد.

جهت بررسی تأثیر استفاده همزمان از پراکسید هیدروژن و دی‌اکسید تیتانیوم، دو غلظت متفاوت هیدروژن پراکساید (۰/۰۵۸ و ۰/۱۱۶ مول) و غلظت‌های بهینه دی‌اکسید تیتانیوم (۰/۰۵ و ۰/۱۵ گرم) به کار گرفته شد. نتایج گویای آن بود که بیشترین راندمان تجزیه روغن، مربوط به غلظت ۰/۱۱۶ مول هیدروژن پراکسید و ۰/۰۲ گرم دی‌اکسید تیتانیوم است. میانگین ۹۷/۲۲، بالاترین میزان تجزیه روغن در این دو غلظت است.

جدول ۳ میزان درصد تجزیه PCB‌ها را در روغن آسکارل بر حسب غلظت‌های متفاوت هیدروژن پراکسید و دی‌اکسید تیتانیوم با توجه به کونجنرهای مختلف نشان می‌دهد.

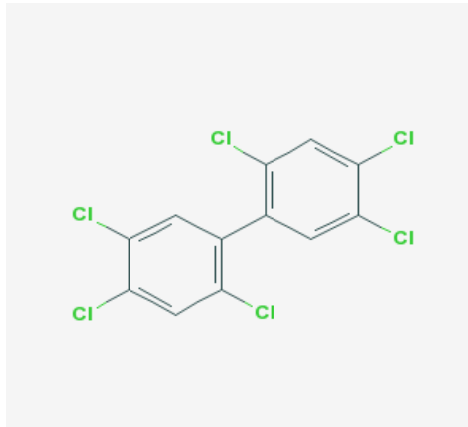
یافته‌ها

نمونه اولیه روغن با استفاده از دستگاه GC-ECD مورد آنالیز قرار گرفت. آنالیز اولیه روغن، ترکیب‌های PCB را در نمونه نشان داد. در روغن دو کونجنر-ترکیب‌هایی که هم جنس و مشابه هم هستند- مختلف از ترکیب‌های PCB یافت شد که در ادامه نام آن‌ها آورده شده است.

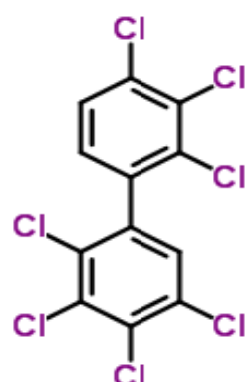
۱- PCB-153 Hexa chlorobiphenyl (۵ و ۴ و ۲ و ۲ و ۱)

۲- PCB-170 Hepta chlorobiphenyl (۵ و ۴ و ۳ و ۲ و ۲)

مقدار اولیه PCB روغن برای ترکیب PCB-153 و PCB-170 به ترتیب ۱۹۹۷ و ۱۰۲۲ میکروگرم بر لیتر بود. ساختار مولکولی PCB‌های شناسایی شده در روغن، در شکل‌های ۱ و ۲ نشان داده شده است.



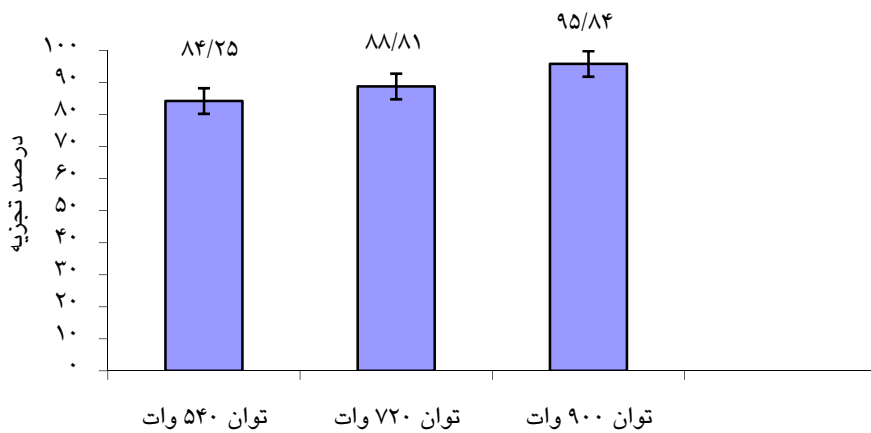
شکل ۱: ساختار PCB-153 مولکولی Polychlorinated Biphenyl



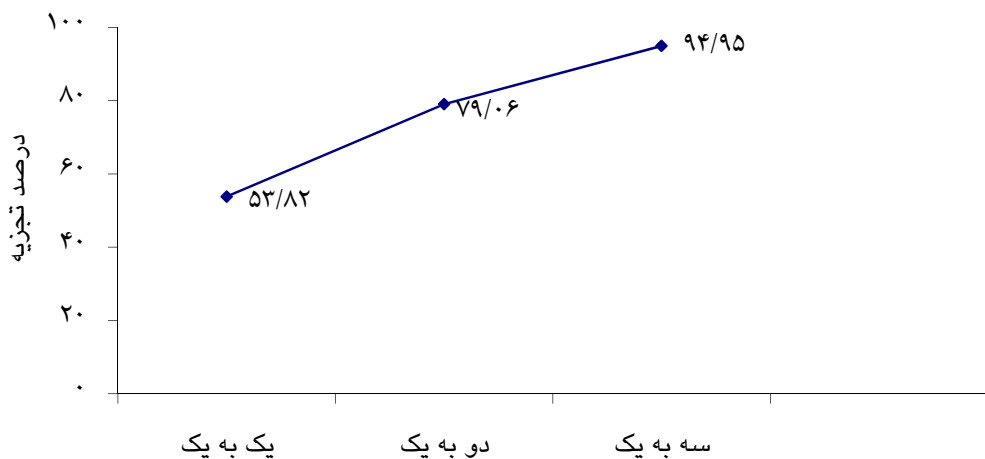
شکل ۲: ساختار PCB-170 مولکولی Polychlorinated Biphenyl

جدول ۲: میزان درصد تجزیه روغن آسکارل بر حسب توان پرتو میکروویو، نسبت حجم حلال به روغن آسکارل، میزان پراکسید هیدروژن و دی اکسید تیتانیوم در زمان های تابش ۳، ۶ و ۹ دقیقه

| پارامتر | نمونه | درصد تجزیه در PCB ۱۷۰ در زمان ۳ دقیقه | درصد تجزیه در PCB ۱۵۳ در زمان ۳ دقیقه | درصد تجزیه در PCB ۱۷۰ در زمان ۶ دقیقه | درصد تجزیه در PCB ۱۵۳ در زمان ۶ دقیقه | درصد تجزیه در PCB ۱۷۰ در زمان ۹ دقیقه | درصد تجزیه در PCB ۱۵۳ در زمان ۹ دقیقه |
|---|-------------------------------|---------------------------------------|---------------------------------------|---------------------------------------|---------------------------------------|---------------------------------------|---------------------------------------|
| توان ۵۴۰ وات | | ۸۲/۳۸ | ۸۳/۷۷ | ۸۳/۵۶ | ۸۲/۹۷ | ۸۴/۳۴ | ۸۴/۱۷ |
| توان ۷۲۰ وات | | ۸۶/۳۰ | ۸۷/۱۸ | ۸۷/۴۷ | ۸۷/۷۸ | ۸۸/۶۴ | ۸۸/۹۸ |
| توان ۹۰۰ وات | | ۹۲/۹۵ | ۹۲/۷۸ | ۹۴/۱۲ | ۹۳/۷۹ | ۹۵/۶۹ | ۹۵/۹۹ |
| نسبت ۱:۱ حلال به روغن | | ۵۲/۶۴ | ۵۲/۵۲ | ۵۳/۲۲ | ۵۳/۵۳ | ۵۳/۶۲ | ۵۴/۰۳ |
| نسبت ۲:۱ حلال به روغن | | ۷۷/۱۰ | ۷۷/۳۱ | ۷۷/۳۹ | ۷۷/۷۶ | ۷۸/۸۶ | ۷۹/۲۶ |
| نسبت ۳:۱ حلال به روغن | | ۹۱/۷۸ | ۹۲/۲۸ | ۹۳/۳۴ | ۹۳/۳۹ | ۹۴/۹۱ | ۹۴/۹۹ |
| بدون استفاده از H ₂ O ₂ | H ₂ O ₂ | ۶۵/۹۴ | ۶۶/۱۴ | ۶۸/۲۹ | ۶۹/۷۵ | ۷۰/۲۵ | ۷۱/۵۵ |
| ۰/۰۵۸ مول H ₂ O ₂ | H ₂ O ₂ | ۸۲/۷۷ | ۸۲/۵۷ | ۸۲/۱۷ | ۸۴/۱۷ | ۸۴/۷۳ | ۸۴/۵۷ |
| ۰/۱۱۶ مول H ₂ O ₂ | H ₂ O ₂ | ۸۷/۰۸ | ۸۶/۱۷ | ۸۸/۲۵ | ۸۷/۷۸ | ۸۸/۶۴ | ۸۹/۱۸ |
| بدون استفاده از TiO ₂ | TiO ₂ | ۶۵/۹۴ | ۶۶/۱۴ | ۶۸/۲۹ | ۶۹/۷۵ | ۷۰/۲۵ | ۷۱/۵۵ |
| ۰/۰۵ گرم TiO ₂ | TiO ₂ | ۷۵/۷۳ | ۷۶/۱۶ | ۷۶/۱۲ | ۷۶/۳۶ | ۷۶/۵۱ | ۷۶/۵۶ |
| ۰/۱ گرم TiO ₂ | TiO ₂ | ۷۶/۵۱ | ۷۶/۷۶ | ۷۶/۹۰ | ۷۶/۹۶ | ۷۷/۲۹ | ۷۷/۳۶ |
| ۰/۱۵ گرم TiO ₂ | TiO ₂ | ۷۶/۹۰ | ۷۷/۵۶ | ۷۸/۰۸ | ۷۸/۵۶ | ۷۹/۲۵ | ۷۸/۹۶ |
| ۰/۲ گرم TiO ₂ | TiO ₂ | ۷۷/۶۹ | ۷۷/۹۶ | ۷۸/۸۶ | ۷۸/۹۶ | ۸۰/۸۲ | ۷۹/۵۶ |



نمودار ۱: اثر توان میکروویو روی کارایی تجزیه ترکیبات PCBs (Polychlorinated Biphenyl) در فرآیند تجزیه با استفاده از نسبت ۳:۱ حلال اتانول به روغن و زمان تابش ۹ دقیقه



نمودار ۲: اثر شدت میکروویو روی کارایی تجزیه ترکیب‌های (Polychlorinated Biphenyl) PCBs در فرایند تجزیه با استفاده از اتانول، مقایسه نسبت حلال در میزان تجزیه در توان ۹۰۰ وات و زمان تابش ۹ دقیقه

جدول ۳: میزان درصد تجزیه روغن آسکارل بر حسب به کارگیری همزمان H_2O_2 / ۰.۵۸ مول + نسبت‌های مختلف TiO_2 و به کارگیری H_2O_2 / ۱۱۶ مول + نسبت‌های مختلف TiO_2 توان ۹۰۰ وات، زمان تابش ۳، ۶ و ۹ دقیقه و نسبت ۳:۱ حلال به روغن

| درصد تجزیه PCB170 در زمان ۳ دقیقه | درصد تجزیه PCB153 در زمان ۳ دقیقه | درصد تجزیه PCB170 در زمان ۶ دقیقه | درصد تجزیه PCB153 در زمان ۶ دقیقه | درصد تجزیه PCB170 در زمان ۹ دقیقه | درصد تجزیه PCB153 در زمان ۹ دقیقه | نمونه پارامتر |
|---|---|---|---|---|---|--|
| ۸۷/۸۶ | ۸۵/۳۷ | ۸۸/۶۴ | ۸۷/۳۸ | ۸۹/۸۲ | ۸۸/۷۸ | ۰/۰۵ + H_2O_2 / ۰.۵۸ TiO_2 گرم |
| ۸۹/۴۳ | ۸۶/۷۸ | ۹۰/۶۰ | ۸۸/۳۸ | ۹۱/۷۸ | ۹۰/۵۸ | ۰/۱ + H_2O_2 / ۰.۵۸ TiO_2 گرم |
| ۹۰/۲۱ | ۸۷/۳۸ | ۹۱/۷۸ | ۹۱/۱۸ | ۹۲/۱۷ | ۹۲/۱۸ | ۰/۱۵ + H_2O_2 / ۰.۵۸ TiO_2 گرم |
| ۹۱/۳۸ | ۹۰/۳۸ | ۹۲/۵۶ | ۹۱/۵۸ | ۹۳/۳۴ | ۹۲/۹۸ | ۰/۲ + H_2O_2 / ۰.۵۸ TiO_2 گرم |
| ۹۰/۶۰ | ۹۱/۷۸ | ۹۲/۵۶ | ۹۲/۹۸ | ۹۴/۱۲ | ۹۳/۷۹ | ۰/۰۵ + H_2O_2 / ۱۱۶ TiO_2 گرم |
| ۹۱/۷۸ | ۹۲/۳۸ | ۹۳/۳۴ | ۹۳/۳۹ | ۹۴/۹۱ | ۹۴/۹۹ | ۰/۱ + H_2O_2 / ۱۱۶ TiO_2 گرم |
| ۹۲/۹۵ | ۹۲/۷۸ | ۹۴/۱۲ | ۹۳/۷۹ | ۹۵/۶۹ | ۹۵/۹۹ | ۰/۱۵ + H_2O_2 / ۱۱۶ TiO_2 گرم |
| ۹۳/۷۳ | ۹۳/۳۹ | ۹۴/۹۱ | ۹۴/۳۹ | ۹۶/۸۶ | ۹۷/۵۹ | ۰/۲ + H_2O_2 / ۱۱۶ TiO_2 گرم |

۱- امکان استفاده تجاری از این روش ۲- انتشار کم آلودگی ۳- روش مبتنی بر دوستار محیط‌زیست ۴- عدم استفاده از سوخت ۵- امکان کار روی مقادیر زیاد ۶- تقریباً تجزیه کامل امکان‌پذیر است. از این رو مشکل مواد خطرناک پایان می‌یابد. همچنین از دیگر مزیت مطالعه حاضر، استفاده از حلالی با سمیت کمتر با توان تولید رادیکال‌های هیدروکسیل بالا در اثر واکنش و توان حلالیت بالا برای ترکیب‌های روغن بود. این خواص منجر به نتیجه مطلوب با نبود محصولات فرعی سمی شد. با این وجود گزارش‌های کمی در به کارگیری حلال اثانول وجود دارد. مشخصه‌های مطلوب برای انتخاب حلال شامل سمیت کم، توان حل کنندگی بالا، سازگاری با ترکیب و واکنش‌پذیری پایین با معرفه‌ای کلرزاوی است (۱۶). بر اساس این معیار، مخلوط آلان‌ها و الکل‌هایی با وزن مولکولی کم مطلوب به نظر می‌رسد. این حلال‌ها سمیت پایین، ثبات بالا و عدم واکنش‌پذیری با محصولات کلرزاوی را دارا هستند. حلال، روغن آسکارل را در خود حل می‌کند. با توجه به معیارهای ذکر شده در این تحقیق از اثانول به عنوان حلال واسطه مناسب برای جذب انرژی پرتو میکروویو و انتشار حرارت استفاده شد. این حلال سمیت پایین و قابلیت حلالیت بالایی دارد. همچنین ترکیبات کم‌خطرتری نسبت به حلال‌های متانول، n هگزان، ایزوپروپانول و آلکالین ۲-پروپانول ایجاد می‌کند (۱).

همچنین در جدول ۲ اثر میزان حلال در زمان‌های مشابه روی نمونه‌ها، نشان داده شده است. بررسی نشان داد که میزان تجزیه روغن آسکارل با افزایش یافتن مقدار حلال افزایش می‌یابد. نتایج آزمون آماری t-test نشان داد که تفاوت معنی‌داری بین درصد کاهش PCBs و افزایش میزان حلال وجود دارد ($P < 0.05$). به طور کلی انتظار می‌رود که اثر حجم حلال روی کارایی تجزیه تأثیر به سزایی داشته باشد. از آن جایی که مکانیسم عمدۀ تولید رادیکال هیدروکسیل در اثر تجزیه H_2O_2 و TiO_2 می‌تواند باشد، با افزایش مقدار اثانول باید میزان تولید رادیکال هیدروکسیل افزایش یابد. بنابراین موجب افزایش بیشتر کلرزاوی مولکول PCB می‌شود.

بحث

در جدول ۲ اثر توان پرتو میکروویو در زمان‌های مشابه روی نمونه‌ها نشان داده شده است. جدول ۲ نشان می‌دهد که میزان درصد تجزیه روغن آسکارل با افزایش توان پرتو میکروویو بیشتر می‌شود. به طور کلی، کارایی تجزیه با افزایش توان میکروویو افزایش می‌یابد ولی این به این مفهوم نیست که رابطه خطی وجود دارد. شبیه منحنی افزایش تجزیه از توان ۵۴۰ وات به سمت توان‌های بالاتر یعنی ۹۰۰ وات تمایل به هم سطح شدن دارد. هر چقدر توان بیشتر می‌شود، میزان درصد تجزیه روغن با شبیه کمتری ادامه می‌یابد. نتایج تحلیل واریانس با اندازه‌گیری‌های مکرر و آزمون آماری t-test نشان داد که تفاوت معنی‌داری بین درصد کاهش PCBs و افزایش توان پرتو میکروویو وجود دارد ($P < 0.05$).

مطالعه‌ها نشان دادند که وقتی توان پرتو میکروویو افزایش می‌یابد، کارایی تجزیه نیز زیاد می‌شود؛ چرا که افزایش توان میکروویو، انرژی گرمایی بیشتری برای واکنش (کلرزاوی) ایجاد می‌کند. از این رو کارایی تجزیه افزایش می‌یابد و با توجه به نوع PCB و حلال باید میزان حداکثر مؤثر توان را انتخاب کرد. این امر موجب کاهش زمان واکنش می‌شود و در نتیجه هزینه تجزیه روغن یعنی هزینه انرژی به حداقل رسانده می‌شود (۱۱، ۹-۱۱). با توجه به این که PCB‌ها در آب به مقدار کمی حل می‌شوند، اکثر کارهای بینایین و اولیه روی تجزیه ترکیب‌های PCB با استفاده از آلان‌ها و الکل‌ها صورت گرفته است. در مطالعه‌های قبلی از حلال‌های آلی زیادی نظیر n هگزان، ایزوپروپانول، آلکالین ۲-پروپانول و متانول استفاده شده است. میانگین تجزیه روی برخی از کونجنهای برای حلال‌های مذبور به ترتیب کمتر از ۹۲ درصد، ۸۸ درصد، ۹۲ درصد و ۹۲ درصد گزارش شده است (۱۵، ۱۴، ۶، ۱۵). این حلال‌ها مزایا و معایب زیادی دارند. از معایب برخی از این حلال‌ها می‌توان به سمیت بالا، خطر آتش‌گیری، سرعت واکنش پایین و ایجاد محصولات سمی تر اشاره نمود (۱۰-۱۱). این امر در حالی است که مطالعه حاضر نشان داد در کنار دست یافتن به تجزیه ترکیب‌های PCB به میزان بیش از ۹۷ درصد، مزایای ذیل نیز قابل مشاهده است.

تجزیه PCB می‌شود. در غلظت‌های بالاتر، اثر افزایش دوز قابل صرفه نظر کردن است (۱۰، ۱۶، ۱۷).

در جدول ۳ میزان درصد تجزیه PCBS را در روغن آسکارل بر حسب به کارگیری همزمان H_2O_2 به میزان ۱۰ درصد و ۲۰ درصد و به کارگیری نسبت‌های مختلف TiO_2 با توجه به کونجنترهای مختلف نشان می‌دهد. همان طور که انتظار می‌رود، میزان تجزیه PCBها با افزایش نسبت TiO_2 آزمون آماری t-test باشند. نتایج آزمون آماری t-test معنی‌داری بین درصد کاهش PCBs و افزایش میزان TiO_2 در استفاده همزمان از H_2O_2 وجود دارد ($P < 0.05$).

نتیجه گیری

نتایج بررسی روی تجزیه ترکیبات PCB در حضور حلال اتانول و اکسیدکننده قوی نظیر H_2O_2 و کاتالیزور TiO_2 ، منجر به تجزیه یا کاهش میزان PCB در روغن ترانسفورمر با انرژی کمتر و عدم محصولات فرعی سمی شد. در واقع با افزایش مقدار اتانول، میزان تولید رادیکال هیدروکسیل افزایش یافت و موجب کلرزدایی بیشتر مولکول PCB گردید. همچنین میزان تجزیه PCB با افزایش غلظت پراکسید هیدروژن و ازدیاد نسبت دی‌اکسید تیتانیوم افزایش یافت.

تشکر و قدردانی

تمامی آزمایش‌ها در آزمایشگاه گروه بهداشت حرفه‌ای و محیط دانشگاه تربیت مدرس و بخش آنالیز آن در آزمایشگاه شرکت کیمیا شنگرف پارس همکار پزشک قانونی تهران صورت گرفت. نویسنده‌گان بر خود ملزم می‌دانند از دانشکده علوم پزشکی دانشگاه تربیت مدرس و تمامی کسانی که در این دو مجموعه به خصوص کارکنان آزمایشگاه- برای انجام پژوهش سعی و تلاش فراوان نمودند، تشکر و قدردانی به عمل آورند. این مطالعه با حمایت مالی دانشگاه تربیت مدرس انجام شده است.

بالاخره در جدول ۲ میزان درصد تجزیه PCB‌ها در روغن بر حسب به کارگیری غلظت‌های مختلف H_2O_2 و TiO_2 با توجه به کونجنترهای مختلف نشان داده شده است. همان طور که انتظار می‌رود، میزان تجزیه PCBها با افزایش غلظت H_2O_2 و TiO_2 آزمون آماری t-test باشد (۱۶). بنابراین تابش به تنها بی‌نمی تواند روش مؤثری برای تجزیه PCBها باشد. نتایج آزمون‌های آماری t-test نشان داد که تفاوت معنی‌داری بین درصد کاهش PCBs و افزایش میزان پراکسید هیدروژن وجود دارد ($P < 0.05$).

برخی از مطالعه‌ها نشان دادند که کارایی تجزیه مولکول‌های PCB با پرتو MW، با اضافه نمودن H_2O_2 و TiO_2 افزایش می‌یابد. وقتی جهت تسريع در روند واکنش H_2O_2 به عنوان اکسیدکننده و TiO_2 به عنوان کاتالیست اضافه می‌شود، مکانیسم اکسیداسیون شروع می‌شود. پراکسید هیدروژن و دی‌اکسید تیتانیوم به رادیکال هیدروکسیل تجزیه می‌شوند و مکانیسم عمدۀ تجزیه مولکول‌های PCB با رادیکال‌های هیدروکسیل حاصل از اکسیداسیون پیش‌رفته ادامه می‌یابد. رادیکال هیدروکسیل، اکسیدکننده قوی، واکنشی و غیرانتخابی است که به مولکول‌های PCB حمله‌ور می‌شود و می‌تواند منجر به اکسیداسیون ترکیب آلی و تجزیه آن‌ها به دی‌اکسیدکربن، آب و یون‌های معدنی شود (۱۶). میزان پراکسید هیدروژن پارامتر خیلی مهمی در کارایی فرایند تجزیه است. بنابراین منطقی است که فرض شود با افزایش میزان H_2O_2 منجر به افزایش غلظت حالت پایا پراکسید هیدروژن شود؛ ولی همیشه این طور رخ نمی‌دهد. پراکسید هیدروژن به عنوان اسکونجر یا بازدارنده قوی نیز می‌تواند عمل کند. بدیهی است که غلظت‌های پراکسید هیدروژن در مقدار کم، افزایش دوز منجر به افزایش میزان

References

- Wong KH, Wong PK. Degradation of Polychlorinated Biphenyls by UV-Catalyzed Photolysis. Human and Ecological Risk Assessment: An International Journal 2006; 12(2): 259-69.
- Wu W, Xu J, Zhao H, Zhang Q, Liao S. A practical approach to the degradation of polychlorinated biphenyls in transformer oil. Chemosphere 2005; 60(7): 944-50.

3. Borja J, Taleon DM, Auresenia J, Gallardo S. Polychlorinated biphenyls and their biodegradation. *Process Biochemistry* 2005; 40(6): 1999-2013.
4. Manzano MA, Perales JA, Sales D, Quiroga JM. Using solar and ultraviolet light to degrade PCBs in sand and transformer oils. *Chemosphere* 2004; 57(7): 645-54.
5. Wiegel J, Wu Q. Microbial reductive dehalogenation of polychlorinated biphenyls. *FEMS Microbiol Ecol* 2000; 32(1): 1-15.
6. Agency for Toxic substances and Disease Registry. Toxicological profile for polychlorinated Biphenyls (PCBs). ATSDR, Division of Toxicology/Toxicology Information Branch [Online]. 2000; Available from: URL: www.atsdr.cdc.gov/toxprofiles/tp.asp?id=142&tid=26
7. Liu X, Yu G. Combined effect of microwave and activated carbon on the remediation of polychlorinated biphenyl-contaminated soil. *Chemosphere* 2006; 63(2): 228-35.
8. Chang FC, Chiu TC, Yen JH, Wang YS. Dechlorination pathways of ortho-substituted PCBs by UV irradiation in n-hexane and their correlation to the charge distribution on carbon atom. *Chemosphere* 2003; 51(8): 775-84.
9. Leaes FL, Daniel AP, Mello GB, Battisti V, Bogusz S, Emanuelli T, et al. Degradation of polychlorinated biphenyls (PCBs) by *Staphylococcus xylosus* in liquid media and meat mixture. *Food Chem Toxicol* 2006; 44(6): 847-54.
10. Yao Y, Kakimoto K, Ogawa HI, Kato Y, Kadokami K, Shinohara R. Further study on the photochemistry of non-ortho substituted PCBs by UV irradiation in alkaline 2-propanol. *Chemosphere* 2000; 40(9-11): 951-6.
11. Jones DA, Lelyveld TP, Mavrofidis SD, Kingman SW, Miles NJ. Microwave heating applications in environmental engineering: a review. *Resources, Conservation and Recycling* 2002; 34(2): 75-90.
12. Ahmadi A, Barzegar Alamdari B. Degradation of polychlorinated biphenyl compounds by pd/Fe, Effect of microwave Ray's power. Proceedings 20th conference International power system; 2005 Nov 23-25; Tehran, Iran; 2005. [In Persian].
13. Appleton TJ, Colder RI, Kingman SW, Lowndes IS, Read AG. Microwave technology for energy-efficient processing of waste. *Applied Energy* 2005; 81(1): 85-113.
14. Koller G, Moder M, Czihal K. Peroxidative degradation of selected PCB: a mechanistic study. *Chemosphere* 2000; 41(12): 1827-34.
15. Chaychian M, Jones C, Poster D, Silverman J, Neta P, Huie R, et al. Radiolytic dechlorination of polychlorinated biphenyls in transformer oil and in marine sediment. *Radiation Physics and Chemistry* 2002; 65(4-5): 473-8.
16. Hatakeyama K, Ikushima Y, Sato O, Aizawa T, Saito N. Supercritical water oxidation of polychlorinated biphenyls using hydrogen peroxide. *Chemical Engineering Science* 1999; 54(15-16): 3079-84.
17. Nakagawa S, Shimokawa T. Degradation of halogenated carbons in alkaline alcohol. *Radiation Physics and Chemistry* 2002; 63(2): 151-6.

Decomposition of Transformer Oil (PCB153 and PCB170) Using Microwave Radiation and Combined TiO₂/H₂O₂

Reza Tajik¹, Hassan Asilian Mahabadi², Ali Khavanin³, Ahmad Jonidi Jafari⁴, Babak Eshrat⁵, Ardalan Soleimanian⁶

Abstract

Background: polychlorinated biphenyls (PCBs) are occupational and environmental pollutants and hazardous organic compounds that have created major environmental and occupational challenges. PCB compounds have different health effects in humans depending on sex, age, route of entry, intensity, and frequency of exposure. This study was conducted to determine the effect of microwave rays, hydrogen peroxide, TiO₂, catalyst and ethanol on the composition of PCBs in order to reduce occupational exposure.

Methods: This was an experimental study carried out in the laboratory of Tarbiat Modares University between May and September 2011. This experiment used a MW oven, Pyrex vessel reactor (250 ml volume), Pyrex tube connector and condensing system. A 900 W domestic MW oven with a fixed frequency of 2450 MHZ was used to provide MW irradiation. Ray powers of 540, 720 and 900 W were used. A hole was pierced in the top portion of the oven and the Pyrex vessel reactor was connected with the Pyrex tube connector. PH and temperature was continuously monitored. The experiments were performed in triplicates and the results are presented as mean concentrations. The PCBs were analyzed by GC-ECD. Then, data were analyzed by SPSS software version16 • ANOVA with repeated measurements, and t-test, and P < 0.05 was significant.

Findings: The mean degradation of total PCBs in terms of microwave ray power of 540, 720 and 900 W was 84.25%, 88.81%, and 95.84% respectively. The mean degradation of total PCBs in terms of ratio of solvent to askarel oil of 1:1, 2:1 and 3:1 was 53.82%, 79.06%, and 94.95% respectively. The mean degradation of total PCBs in terms of lack of usage of H₂O₂ and usage of 10% and 20% of H₂O₂ was 70.9%, 84.65% and 88.91% respectively. The mean degradation of total PCBs in terms of lack of usage of TiO₂ and usage of 0.05, 0.1, 0.15 and 0.2 g of TiO₂ was 70.9%, 76.53%, 77.32%, 79.10%, and 80.19% respectively. The mean degradation of total PCBs in terms of lack of usage of H₂O₂/TiO₂ and the simultaneous usage of 10% of H₂O₂ and 0.05, 0.1, 0.15, and 0.2 g of TiO₂ was 70.9%, 89.3%, 91.18%, 92.17%, and 93.16% respectively. The mean degradation of total PCBs in terms of lack of usage of H₂O₂/TiO₂ and simultaneous usage of 20% of H₂O₂ and 0.05, 0.1, 0.15, and 0.2 g of TiO₂ was 70.9, 93.95%, 94.95%, 95.84%, and 97.22% respectively.

Conclusion: The results of these experiments showed that using microwave rays, H₂O₂ oxidant and TiO₂ catalyst lead to an efficient degradation of PCBs only in the presence of ethanol. Increasing the concentration of ethanol should increase the generation rate of hydroxyl radical, and thus the oxidation and dechlorination of the PCBs. The degradation rate of PCBs increased with increasing of the concentration of H₂O₂ and amount of TiO₂.

Keyword: Askarel Oil, Degradation, Ethanol, Microwave Radiation

1- PhD Candidate, Department of Occupational Health Engineering, School of Medical Sciences, Tarbiat Modares University, Tehran, Iran
2- Assistant Professor, Department of Occupational Health Engineering, School of Medical Sciences, Tarbiat Modares University, Tehran, Iran
(Corresponding Author) Email: asilia_h@modares.ac.ir

3- Associate Professor, Department of Occupational Health Engineering, School of Medical Sciences, Tarbiat Modares University, Tehran, Iran

4- Associate Professor, Department of Environmental Health Engineering, School of Medical Sciences, Tarbiat Modares University, Tehran, Iran

5- Associate Professor, Department of Statistics and Epidemiology, School of Health, Arak University of Medical Sciences, Arak, Iran

6-MSc, Department of Occupational Health Engineering, School of Medical Sciences, Tarbiat Modares University, Tehran, Iran